

УДК 517.51, УДК 004.94, УДК 519. 6

Поиск наилучшего приближения в метрике квадратичного отклонения ступенчатыми функциями для распределения Коши

Пастухов Ю.Ф.¹, Пастухов Д.Ф.¹, Чернов С.В.², Пастухов А.Ю.
Полоцкий государственный университет, факультет информационных технологий¹
ОАО «Конструкторское бюро «Дисплей», Витебск²

Научные руководители: Пастухов Ю.Ф., к. ф. м. н., доцент; Пастухов Д.Ф., к. ф. м. н., доцент, факультет информационных технологий Полоцкого государственного университета

Магистранты: Синица П.Р.¹, Субботин А. В.¹, Кохановский А.В.¹, Исаков И.В.¹, Епанешников А.В.¹, Сивограков А.А.¹, Карабанов Р.Ю.¹, Меницкий Е.А.¹, Андреев И.С.¹, Андрейчиков А.Г.¹, Денисова Е.¹, Иваненко Е.С.¹, Карнилович А.В.¹, Петюкевич В. В.¹, Смоляк А.И.¹, Соловьёв А.А.¹, Шевцов М..Ю.¹, Станкевич К.В.¹, Мисевич И.В.¹

Предложен метод нахождения наилучшего приближения плотности распределения Коши в пространстве ступенчатых функций на заданном интервале. В данной работе описан метод и алгоритм, заменяющий функцию распределения Коши ступенчатой функцией, являющейся наилучшим приближением плотности распределения Коши в метрике квадратичного отклонения. По сути получен алгоритм квантования функции плотности распределения Коши в пространстве ступенчатых функций на заданном интервале. Данный метод и алгоритм, отличается от алгоритма квантования Ллойда.

Ключевые слова: наилучшим приближением функции в метрике квадратичного отклонения, численная аппроксимация интегралов с двенадцатым порядком погрешности, алгоритм Ллойда.

1. Введение

Новым в данной работе является алгоритм нахождения наилучшего приближения плотности распределения Коши в пространстве ступенчатых функций на заданном интервале.

2. Квантование функции плотности нормального распределения в метрике квадратичного отклонения

Определение. Пусть $m \in \mathbb{N}$. Функция $f_m : [a, b] \rightarrow \mathbb{R} (a < b)$ называется m -кусочно-постоянной на $[a, b]$, если $\exists x_1 < x_2 < \dots < x_{m-1}$ такие что:

$$x_0 = a < x_1 < x_2 < \dots < x_{m-1} < b = x_m,$$

$$f_m(x) = y_i = \text{const} \quad \forall x \in (x_{i-1}, x_i), f_m(x_i) = y_i, f_m(x_{i+1}) = y_{i+1}, y_i \neq y_{i+1}, \quad \forall i = \overline{1, m-1}.$$

Множество m - ступенчатых функций (m - уровней) $f_m : [a, b] \rightarrow \mathbb{R} (a < b)$ обозначим как $S_m[a, b]$.

Пусть $f : [a, b] \rightarrow \mathbb{R}$, $f \in C^2[a, b]$, $f'(x) < 0 \quad \forall x \in [a, b]$, $m \in \mathbb{N}$. Для минимизации ошибки квантования требуется в пространстве m - ступенчатых функций найти наилучшее приближение $h_m : [a, b] \rightarrow \mathbb{R}$ функции $f : [a, b] \rightarrow \mathbb{R}$ в метрике квадратичного отклонения, такое что $\text{dist} = \|f - h_m\|_{C^2[a, b]} = \min_{f_m \in S_m[a, b]} \|f - f_m\|_{C^2[a, b]}$. С учетом этого, расстояние оценивается как:

$$\text{dist} = \|f - h_m\|_{C^2[a, b]} = \sqrt{\int_a^b (f(x) - h_m(x))^2 dx} = \min_{f_m \in S_m[a, b]} \sqrt{\int_a^b (f(x) - f_m(x))^2 dx} = \min_{f_m \in S_m[a, b]} \|f - f_m\|_{C^2[a, b]}$$

Пусть ступенчатая функция $h_m(x) = y_k$ равна константе на отрезке $x \in (x_{k-1}, x_k)$, $k = \overline{1, m}$, при этом функция ошибки $G(x_1, \dots, x_{m-1}, y_1, \dots, y_m) = \sum_{k=1}^m \int_{x_{k-1}}^{x_k} (f(x) - y_k)^2 dx$ описывает квадрат отклонения ступенчатой

функции $h_m : [a, b] \rightarrow \mathbb{R}$ от функции нормального распределения $f : [a, b] \rightarrow \mathbb{R}$. Необходимое условие экстремума функции $G(x_1, \dots, x_{m-1}, y_1, \dots, y_m)$ описывается системой уравнений:

$$\frac{\partial G(x_1, \dots, x_{m-1}, y_1, \dots, y_m)}{\partial x_i} \equiv G'_{x_i} = 0, i = \overline{1, m-1}, G'_{y_i} = 0, i = \overline{1, m},$$

Получим явный вид этих уравнений.

Пусть $H(x) = \int_{g_1(x)}^{g_2(x)} f(y, x) dy$ Известно, что

$$\frac{dH(x)}{dx} = -f(g_1(x), x) \frac{dg_1(x)}{dx} + f(g_2(x), x) \frac{dg_2(x)}{dx} + \int_{g_1(x)}^{g_2(x)} \frac{\partial f(y, x)}{\partial x} dy$$

Пусть $H_k(x_{k-1}, x_k, y_k) = \int_{x_{k-1}}^{x_k} (f(x) - y_k)^2 dx$ Так как $\frac{dx_{k-1}}{dy_k} = \frac{dx_k}{dy_k} = 0$, то

$$\frac{\partial H_k(x_{k-1}, x_k, y_k)}{\partial y_k} = -(f(x_{k-1}) - y_k)^2 \frac{dx_{k-1}}{dy_k} + (f(x_k) - y_k)^2 \frac{dx_k}{dy_k} + \int_{x_{k-1}}^{x_k} \frac{\partial}{\partial y_k} (f(x) - y_k)^2 dx =$$

$$= \int_{x_{k-1}}^{x_k} \frac{\partial}{\partial y_k} (f(x) - y_k)^2 dx = (-2) \int_{x_{k-1}}^{x_k} (f(x) - y_k) dx = 0 \Rightarrow \int_{x_{k-1}}^{x_k} f(x) dx = \int_{x_{k-1}}^{x_k} y_k dx = y_k(x_k - x_{k-1})$$

$$\frac{\partial H_k(x_{k-1}, x_k, y_k)}{\partial x_{k-1}} = -(f(x_{k-1}) - y_k)^2 \frac{dx_{k-1}}{dx_{k-1}} + (f(x_k) - y_k)^2 \frac{dx_k}{dx_{k-1}} + \int_{x_{k-1}}^{x_k} \frac{\partial}{\partial x_{k-1}} (f(x) - y_k)^2 dx = -(f(x_{k-1}) - y_k)^2$$

При подстановке вместо k $k+1$ получим

$$\frac{\partial H_{k+1}(x_{k+1-1}, x_{k+1}, y_{k+1})}{\partial x_{k+1-1}} = \frac{\partial H_{k+1}(x_k, x_{k+1}, y_{k+1})}{\partial x_k} = -(f(x_{k+1-1}) - y_{k+1})^2 = -(f(x_k) - y_{k+1})^2$$

$$\frac{\partial H_k(x_{k-1}, x_k, y_k)}{\partial x_k} = -(f(x_{k-1}) - y_k)^2 \frac{dx_{k-1}}{dx_k} + (f(x_k) - y_k)^2 \frac{dx_k}{dx_k} + \int_{x_{k-1}}^{x_k} \frac{\partial}{\partial x_k} (f(x) - y_k)^2 dx = (f(x_k) - y_k)^2$$

$$G(x_1, \dots, x_{m-1}, y_1, \dots, y_m) = \sum_{k=1}^m \int_{x_{k-1}}^{x_k} (f(x) - y_k)^2 dx = \sum_{k=1}^n H_k(x_{k-1}, x_k, y_k)$$

$$\frac{\partial G(x_1, \dots, x_{m-1}, y_1, \dots, y_m)}{\partial y_k} = \frac{\partial H_k(x_{k-1}, x_k, y_k)}{\partial y_k} = (-2) \int_{x_{k-1}}^{x_k} (f(x) - y_k) dx = 0 \Rightarrow \int_{x_{k-1}}^{x_k} y_k dx = y_k(x_k - x_{k-1})$$

$$\begin{aligned} \frac{\partial G(x_1, \dots, x_{m-1}, y_1, \dots, y_m)}{\partial x_k} &= \frac{\partial H_k(x_{k-1}, x_k, y_k)}{\partial x_k} - \frac{\partial H_{k+1}(x_k, x_{k+1}, y_{k+1})}{\partial x_k} = (f(x_k) - y_k)^2 - (f(x_k) - y_{k+1})^2 = \\ &= (f(x_k) - y_k + f(x_k) - y_{k+1})(f(x_k) - y_k - f(x_k) + y_{k+1}) = (2f(x_k) - y_k - y_{k+1})(y_{k+1} - y_k) = 0 \end{aligned}$$

Так как $y_{k+1} \neq y_k \Rightarrow 2f(x_k) - y_k - y_{k+1} = 0 \Rightarrow f(x_k) = \frac{1}{2}(y_k + y_{k+1})$

Отсюда следует:

$$\begin{cases} f(B_i) = \frac{1}{2}(C_i + C_{i+1}), i = \overline{1, n-1} \\ f(B_i) = \frac{1}{2}C_n \\ \int_{B_{j-1}}^{B_j} f(x) dx = C_j(B_j - B_{j-1}), j = \overline{1, n} \end{cases} \quad (2)$$

Для $n+1$ ненулевой ступеньки система (1) имеет вид:

$$\begin{cases} f(B_i) = \frac{1}{2}(C_i + C_{i+1}), i = \overline{1, n} \\ \int_{B_{j-1}}^{B_j} f(x) dx = C_j(B_j - B_{j-1}), j = \overline{1, n+1} \end{cases} \quad (3)$$

И содержит $2n+1$ уравнений и $2n+1$ неизвестных.

В работе при вычислении интегралов был использован алгоритм для составной интегральной квадратурной формулы с 12 порядком погрешности, когда исходный отрезок интегрирования делится на число частей кратное десяти (11 узлов равномерной сетки на каждой части). C_i, x_i, r - соответственно веса, узлы и невязка квадратурной формулы.

$$\int_a^b f(z) dz = \sum_{i=0}^n C_i f(x_i) + r(f) \quad (4)$$

Интегрируя степенные координатные функции z^{2s} на каноническом отрезке $[-1,1]$, $n_0 = 10$ число частей, на которое делится отрезок $[-1,1]$, учитывая симметрию весов относительно центрального узла $z = 0$ получим:

$$\begin{cases} \int_{-1}^1 dz = 2 = C_0 + 2 \sum_{k=1}^{n_0/2} C_k \\ \int_{-1}^1 z^{2s} dz = 2/(2s+1) = 2 \sum_{k=1}^{n_0/2} C_k (2k/n_0)^{2s}, s = \overline{1, n_0/2} \end{cases} \quad (5)$$

Для канонического отрезка $[-1,1]$ запишем квадратурную формулу в виде эквивалентном (4)

$$\int_{-1}^1 f(z) dz = \frac{hn_0}{2} \sum_{i=0}^{n_0} C_i f(x_i) = 5h \sum_{i=0}^{10} C_i f(x_i), \quad \frac{hn_0}{2} = 1, x_i = -1 + ih, i = \overline{0, n_0} \quad (6)$$

Где h - шаг интегрирования, $n_0 = 10$ число отрезков, на которое делится канонический отрезок $[-1,1]$ и каждая часть из k в составной формуле исходного отрезка $[a,b]$.

А определённый интеграл на отрезке $[a,b]$ отличается от(6) на отрезке $[-1,1]$ длиной интервала в

$k = n/n_0 = \frac{b-a}{2}$ раз, используем замену переменных и формулу(4)

$$x = \frac{b+a}{2} + \left(\frac{b-a}{2}\right)z, a \leq x \leq b, -1 \leq z \leq 1, dx = \left(\frac{b-a}{2}\right) dz = kdz$$

$$\int_a^b f(x) dx = \int_{-1}^1 f(z) \left(\frac{b-a}{2}\right) dz = \frac{hn_0}{2} \sum_{i=0}^{n_0} C_i f(x_i), \sum_{i=0}^{n_0} C_i = 2, h = \frac{b-a}{n}, hn = b-a, x_i = a + ih, i = \overline{0, n}$$

Разбивая канонический отрезок $[-1,1]$ $n_0 = 10$ равных частей (из соображений удобства разбиения), используя симметрию весовых коэффициентов, можно получить решение системы уравнений(5) ($n_0 = 10$), в которой 6 неизвестных коэффициентов $C_0, C_1, C_2, C_3, C_4, C_5$ являются решением системы $n_0/2 + 1 = 6$ линейных неоднородных уравнений с 11 алгебраическим порядком точности:

$$\begin{cases} C_0 = \frac{17807}{12474}, C_1 = -\frac{4825}{5544}, C_2 = \frac{5675}{6237}, C_3 = -\frac{16175}{99792}, C_4 = \frac{26575}{74844}, C_5 = \frac{16067}{299376} \end{cases} \quad (7)$$

Проверим на компьютере, что рациональный вид коэффициентов (7) (символьное решение системы (5) для $n_0 = 10$) удовлетворяет с двойной точностью (16 значащих цифр). В таблице 1 в левой части указано

точное значение интеграла $a(s) = \int_{-1}^1 z^s dz, s = \overline{0,12}$, а справа численное значение правой части уравнений

системы (5) - $b(s)$ с использованием значений весовых коэффициентов (7) (s - показатель степенной функции).

Таблица 1. Сравнение интеграла от координатной степенной функции и квадратурной интегральной формулы

a(0)=2.0000000000000000	b(0)=2.0000000000000004
a(1)=0.0000000000000000	b(1)=0.0000000000000000
a(2)=0.6666666666666666	b(2)=0.6666666666666669
a(3)=0.0000000000000000	b(3)=-0.0000000000000000
a(4)=0.4000000000000000	b(4)=0.4000000000000001
a(5)=0.0000000000000000	b(5)=-0.0000000000000000
a(6)=0.2857142857142857	b(6)=0.2857142857142858
a(7)=0.0000000000000000	b(7)=0.0000000000000000
a(8)=0.2222222222222222	b(8)=0.2222222222222223
a(9)=0.0000000000000000	b(9)=-0.0000000000000000
a(10)=0.1818181818181818	b(10)=0.1818181818181819
a(11)=.0000000000000000	b(11)=-.0000000000000000
a(12)=.1538461538461539	b(12)=.1554621683809524

Из таблицы 1 видно, что алгебраический порядок точности системы уравнений (5) при $n_0 = 10$ равен 11,

а порядок погрешности квадратурной формулы

$$\int_{-1}^1 f(z)dz = 5h \sum_{i=0}^{10} C_i f(x_i), 5h = 1, \sum_{i=0}^{10} C_i = 2, x_i = -1 + ih, i = \overline{0,10}$$

равен 12 (C_i определяются с помощью (7)).

Из (6) для $n_0 = 10$ получим составную формулу:

$$\int_a^b f(z)dz = 5h \sum_{i=0}^n C_i f(x_i), h = \frac{(b-a)}{n}, \sum_{i=0}^{10} C_i = 2, x_i = a + ih, n = 10k \quad (8)$$

в которой весовые коэффициенты C_i определяются алгоритмом (9):

$$\left\{ \begin{array}{l} \text{если } j = 0 \text{ или } j = n : C_j = \frac{16067}{299376}; \\ \text{если } j \equiv 1 \pmod{10} \text{ или } j \equiv 9 \pmod{10} : C_j = \frac{26575}{74844}; \\ \text{если } j \equiv 2 \pmod{10} \text{ или } j \equiv 8 \pmod{10} : C_j = -\frac{16175}{99792}; \\ \text{если } j \equiv 3 \pmod{10} \text{ или } j \equiv 7 \pmod{10} : C_j = \frac{5675}{6237}; \\ \text{если } j \equiv 4 \pmod{10} \text{ или } j \equiv 6 \pmod{10} : C_j = -\frac{4825}{5544}; \\ \text{если } j \equiv 5 \pmod{10} : C_j = \frac{17807}{12474}; \\ \text{если } j \equiv 0 \pmod{10}, j > 0, j < n : C_j = \frac{16067}{149688}; \end{array} \right. \quad (9)$$

Методы точных вычислений в стеганографии описаны также в работах [6-9].

Для исследования рассмотренного алгоритма разработана программа, которая позволяет получать пороговые уровни и ошибку приближения для различного числа n (таблица 2) с учетом интегральных квадратурных формул (8, 9).

Таблица 2. Результаты исследований ошибки квантования распределения Коши для различного количества уровней

n	8	16	32	64	128
$G = dist^2$	$2,26 * 10^{-3}$	$6,14 * 10^{-4}$	$1,61 * 10^{-4}$	$4,51 * 10^{-5}$	$1,41 * 10^{-5}$
$dist$	$4,76 * 10^{-2}$	$2,48 * 10^{-2}$	$1,27 * 10^{-2}$	$6,72 * 10^{-3}$	$3,75 * 10^{-3}$

На рисунке 1 представлен пример квантования функции плотности распределения Коши

$$f(x) = \frac{1}{\pi a \left(1 + \left(\frac{x-b}{a} \right)^2 \right)} = \frac{1}{\pi(1+x^2)} \text{ при } a=1, b=0 \text{ на основе предложенного подхода в метрике квадратичного отклонения для числа ступеней а) } m=10 \text{ б) } m=20. \text{ (на одну сторону).}$$

Полученные значения пороговых уровней для $n=20$ ($m=10$ ступеней): 0; 0.264; 0.387; 0.504; 0.616; 0.729; 0.848; 0.972; 1.113; 1.261; 1.440; 1.632; 1.881; 2.155; 2.543; 2.986; 3.709; 4.588; 6.527; 9.250

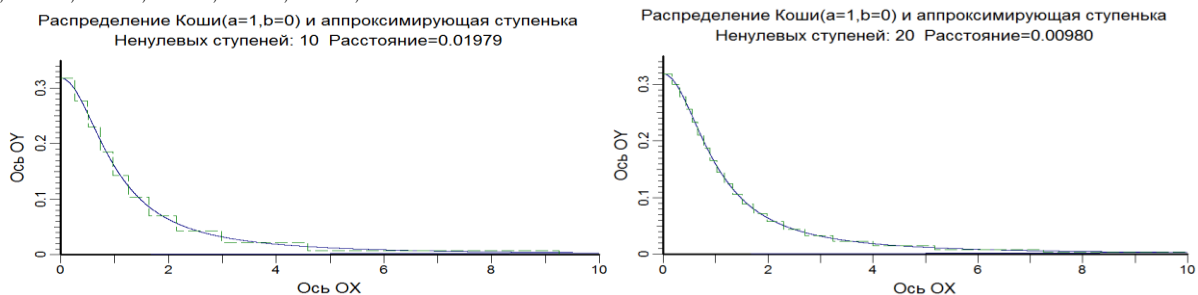


Рис. 1. Результат квантования: а) для $m=10$; б) для $m=20$

```

Введите число ступенек
10
Введите количество отрезков разбиения для расчета интеграла
По умолчанию количество отрезков разбиения для расчета интеграла=1000
Теперь кол-во отрезков разбиения для расчета интеграла можно вводить и 10000 (с
лед. параметр-количество отрезков подразбиения=100) - время расчета - где-то ми
нут 10-20-30
5000
Введите количество отрезков подразбиения для решения интегрального уравнения
По умолчанию количество отрезков подразбиения для решения интегрального уравнен
ия=100
10
Введите количество узлов(кратно 10) для расчета интеграла
10
Начало работы программы:
Время : год:2019 мес:9 дней:6 час:9 мин:41 сек:40 .
Прогресс: 100.0000 % Осталось: сут: 0 час: 0 мин: 0 секунд: 0 .
Время : год:2019 мес:9 дней:6 час:9 мин:41 сек:56 .
Оценка приближения к решению = 3.916165956096915E-004
Вывод уровней квантования :
X( 1 )= 1.053671212772351E-008
X( 2 )= 0.2640000000000000
X( 3 )= 0.387085123300085
X( 4 )= 0.5041999999999974
X( 5 )= 0.615990660510715
X( 6 )= 0.7285999999999949
X( 7 )= 0.848297887788875
X( 8 )= 0.9719999999999922
X( 9 )= 1.11257148803550
X( 10 )= 1.260799999999989
X( 11 )= 1.43967431565539
X( 12 )= 1.632199999999985
X( 13 )= 1.88080392547260
X( 14 )= 2.154999999999979
X( 15 )= 2.54253590792857
X( 16 )= 2.985599999999970
X( 17 )= 3.70884505481046
X( 18 )= 4.588000000000083
X( 19 )= 6.52730054708590
X( 20 )= 9.250200000000512
Ошибка(квадрат расстояния)-интеграл квадрата разности f(x) и ступенчатой функции
= 3.916165956096915E-004
Расстояние = 1.978930508152551E-002
    
```

Рис. 3. Уровни квантования для $m=10$

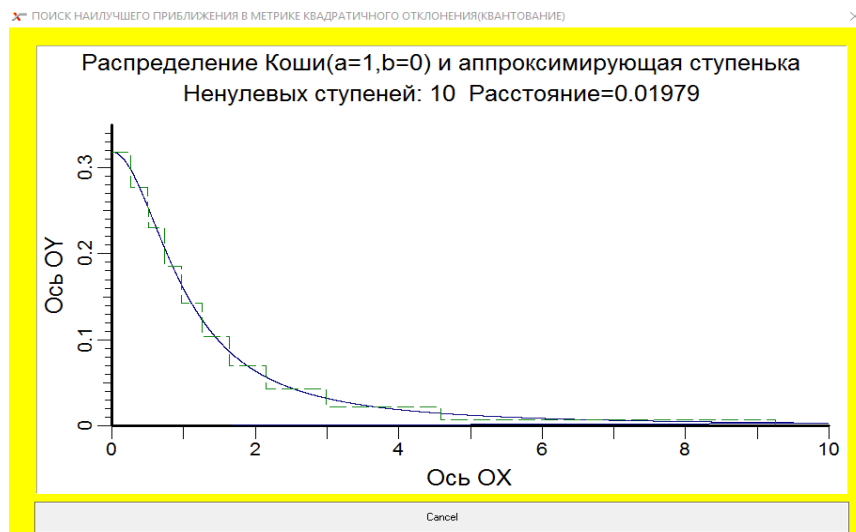


Рис. 4. График уровней квантования: для $m=10$

На рисунке 3,4 приведен результат работы программы для поиска оптимальных уровней квантования для числа ступеней $m=10$

Литература:

1. Пастухов Ю.Ф., Пастухов Д.Ф., Богуш Р.П., Пастухов А.Ю. Определение оптимальных уровней восстановления и квантования плотности нормального распределения в метрике квадратичного отклонения для алгоритма сжатия данных/Пастухов Ю.Ф./Евразийское Научное Объединение. 2018. Т. 1. № 11(45). С. 16-21.
2. Моделирование сжатия радиолокационных данных дистанционного зондирования Земли на основе блочного адаптивного квантования / Богуш Р. П., [и др.]// Вестник ПГУ. Серия С. Фундаментальные науки. 2019. №4 – С. 7-15.
3. Карабанов Р. Ю., Пастухов Д. Ф., Пастухов Ю. Ф., Богуш Р. П. Наилучшее приближение монотонно убывающих функций кусочно – постоянными функциями в метрике квадратичного отклонения. В сборнике: Прикладная математика и информатика: современные исследования в области естественных и технических наук. Сборник научных статей IV научно- практической международной конференции (школы-семинара) молодых ученых: в двух частях. 2018. С. 48-5

4. Пастухов Ю. Ф. Необходимые условия в обратной вариационной задаче/ Ю.Ф. Пастухов // *Фундаментальная и прикладная математика*. 7:1 (2001). С. 285–288.
5. Пастухов Ю.Ф., Пастухов Д.Ф., Богуш Р.П. Квантование функции плотности нормального распределения в метрике квадратичного отклонения. В сборнике: *Информационно-коммуникационные технологии: достижения, проблемы, инновации (ИКТ-2018)*. Электронный сборник статей I международной научно-практической конференции, посвященной 50-летию Полоцкого государственного университета. 2018. С. 92-95.
6. Пастухов Д.Ф. Оптимальный порядок аппроксимации разностной схемы волнового уравнения на отрезке / Д.Ф. Пастухов, Ю.Ф. Пастухов, Н.К. Волосова // *Вестник Полоцкого университета. Серия С. Фундаментальные науки*. – 2018. – № 12. – С. 60–74.
7. Пастухов Д.Ф. К вопросу о редукции неоднородной краевой задачи Дирихле для волнового уравнения на отрезке / Д.Ф. Пастухов, Ю.Ф. Пастухов, Н.К. Волосова // *Вестник Полоцкого университета. Серия С. Фундаментальные науки*. – 2018. – № 4. – С. 167–186.
8. Пастухов Д.Ф. Минимальная разностная схема для уравнения Пуассона на параллелепипеде с шестым порядком погрешности / Д.Ф. Пастухов, Ю.Ф. Пастухов, Н.К. Волосова // *Вестник Полоцкого университета. Серия С. Фундаментальные науки*. – 2019. – № 4. – С. 154–173.
9. Пастухов Д.Ф., Волосова Н.К., Волосова А.К. Некоторые методы передачи Q-R кода с помощью стеганографии / Д.Ф. Пастухов, Н.К. Волосова, А.К. Волосова // *Мир транспорта*. 2019. Т. 17. № 3(82). С. 16–39.
10. Вакуленко С. П., Волосова Н. К., Пастухов Д. Ф. Способы передачи Q-R кода с помощью, стеганографии / С. П. Вакуленко, Н.К. Волосова, Д. Ф. Пастухов // *Мир транспорта*. 2018. Т. 16. № 5(78). С. 14–25.
11. Пастухов Ю.Ф., Соловьев А.А., Карabanов Р.Ю., Субботин А.В., Пастухов Д.Ф. Роль обратной функции при определении оптимальных пороговых уровней восстановления. *Вестник современных исследований*. 2019. № 2.13 (29). С. 33-41.